

# 單相 誘導電動機의 效率的인 運轉을 위한 電力 制御器의 研究開發

論 文

34~2~1

## The Development of the Power Controller for the Improvement of Efficiency of a Single Phase Induction Motor

任 達 鎬\* · 張 錫 明\*\* · 李 圭 淩\*\*\*  
(Dal-Ho Im · Seok-Myeong Jang · Gyu-Jong Lee)

### Abstract

In this paper, a multiple pulse-width modulated ac chopper mode power controller using power transistor is described. The controller is capable of handling up to  $\frac{1}{2}$  hp of power at any lagging load power factor angle and getting the optimal efficiency operating characteristics. The development, study, and experimental evaluation of the controller with induction motor load is described.

### 1. 序 論

回轉機械 중에서도, 誘導電動機는 비교적 구조가 간단하여 취급 및 보수가 용이하며, 값이 저렴하다는 등의 여러 장점에 의해一般 產業界에서 驅動裝置로 널리 사용되고 있다. 最近의 통계에 의하면, 發電되는 電氣에너지의 60 % 이상이 電動機에 의하여 소비되고 있으며, 또한 使用되는 電動機의 거의 대부분이 誘導電動機이므로 에너지 절약의 입장에서 誘導電動機의 效率的인 운전은 매우 중요하다고 하겠다.<sup>1)~3)</sup>.

一般的으로, 誘導電動機는 定格負荷의 75 %~100 %의 범위에서 運轉될 때 最大的 效率을 낼 수 있도록設計되기 때문에 낮은 負荷에서 運轉될 때에는 力率 및 效率이 현저히 低下되는 特性을 갖는데 이때 負荷條件에 따라 電動機의 入力電壓을 적절히 制御하므로써 效率 및 力率를 向上시킬 수 있으며, 이로써 電動機固有의 損失과 誘導性 負荷로 因한 電動機의 驅動系統에서 發生하는 無効分을 절감시킬 수도 있다.<sup>1),3)</sup>

本論文에서는, 임의의 負荷條件下에서도 그 負荷의 크기에 따라 電動機의 入力電力を 最少가 되게 自動으로 制御하여 에너지를 절약하므로써 力率 및 效率을

向上시켜 항상 最適效率의 運轉特性을 維持할 수 있도록 하는 평스폭 變調方式 電力制御器(P.W.M power controller)를 研究開發하고자 한다.

### 2. 誘導電動機의 效率的인 運轉

#### 2.1 에너지 平衡式과 效率

電氣入力에너지를 機械出力에너지로, 電磁的으로 變換시켜 系統을 驅動시키는 에너지 變換裝置인 電動機는 아래와 같은 에너지 平衡等式을 만족하면서 運轉된다<sup>4)</sup>. 즉,

$$\text{電氣入力에너지} = \text{機械出力에너지} + \text{損失에너지} + \text{貯藏에너지} \quad (2-1)$$

또한 電動機의 運轉效率은 다음과 같다. 즉

$$\text{efficiency} = \frac{\text{機械出力에너지}}{\text{電氣入力에너지}} \times 100 [\%]$$

$$= \frac{1}{1 + \frac{\text{損失에너지} + \text{貯藏에너지}}{\text{機械出力에너지}}} \quad (2-2)$$

#### 2.2 效率的인 運轉을 위한 方案

##### 2.2.1 最適入力制御

에너지를 節約하고 系統의 效率을 좋게 하기 위해서는 式(2-2)에서, 一定한 크기로 運轉되는 負荷系統에서 機械出力에너지 is 固定되므로 鐵損과 銅損등의 損失에너지와 磁氣的인 저장에너지 to 最少化하

\*正會員: 漢陽大 工大 電氣工學科 教授, 博

\*\*正會員: 忠南大 工大 電氣工學科 助教授

\*\*\*正會員: 大田機械廠 先任研究員

接受日字: 1984年 1月 19日

여運轉하지 않으면 않된다<sup>4)</sup>.

그런데 電動機의 主要 運轉特性으로, 機械的인 出力を 一定한 값으로 유지하면서 供給電壓을 定格으로부터 점차 감소시키면 効率은 線型의 으로 향상되고 電動機의 電流는 점차 감소되다가 어느 特定電壓에서는 變曲하여 다시 증가하게 되는, 즉 電動機의 電流와 効率은 特定한 入力電壓에서 각각 最少값과 最大값을 갖게되는 것은一般的으로 알려진 사실이며 N. Mohan 氏도 究明한 바 있다<sup>1), 2), 5)</sup>.

(본 논문의 실험 결과인 4장의 그림 15와 표 1을 참고)

여기서 電動機의 電流가 最小가 되는 점에서 効率이 最大가 됨은 負荷電流가 最少가 됨을 의미하며, 이에 의해 電動機내에 저장되는 磁氣에너지와 一般的으로 鐵損과 銅損으로 이루어지는 電動機의 損失 에너지의 합도 最少로 된다. 따라서 임의의 負荷條件에서도 入力에너지로 自動으로 制御하여 電動機를 最高의 効率로 運轉하기 위해서는, 電動機의 負荷電流가 最少가 되도록 供給 電壓을 調整하여 最少入力電力條件이 되도록 해야 하는데 이를 위하여 負荷電流을 制御信號로 使用할 수 있다는 결론을 얻어 이를 위한 電力制御器를 개발하고자 한다.

### 2.2.2 力率改善

電動機중에서도 가장 많이 사용되는 誘導電動機는 본질적으로 力率이 나쁘다는 결점이 있다. 變壓器와 달라 磁氣回路에 空隙이 있으므로 回轉磁界를 만들기 위하여 電源에서 供給해야 할 励磁電流가 커지고 또 線의 누설 리액턴스도 있기 때문이다. 그러나 최적 효율로 電動機가 운전되기 위하여 入力電壓이 적절히 감소되면 磁化電流도 감소되어 力率 또한 改善될 수 있다<sup>7)</sup>.

## 3. 電力制御器(power controller)

電壓을 制御하는 方法으로, 一般的으로 널리 使用되는 사이리스터(thyristor)의 位相制御方式은 큰 交流電力を 비교적 쉽게 制御할 수 있는 优点이 있지만 位相制御의 固有한 特性으로 인한 몇 가지 제한이 있다.

즉, 位相制御回路에서는 line power factor가 load power factor와 一致하는 것은 負荷電力이 최대가 될 때 뿐이며 항상 load power factor 보다 작게되고 낮은 負荷에서는 그 차이가 더욱 심하게 된다<sup>6)</sup>.

高調波 特性에 관하여 볼 때에도 位相制御方式에서는 入力이나 負荷電流에서 매우 큰 歪曲과 高調波 성분을 含有하게 되며 負荷가 작을 때는 매우 커진다<sup>6)</sup>.

따라서 본 연구에서는 사이리스터에 의한 位相制御方式에 비해 回路의 應答速度가 빠르며 誘導性 負荷에서도 비교적 넓은 범위로 출력전압을 제어 할 수 있는 特性을 갖는<sup>7)</sup> 電力用 ダ알링톤 트랜지스터(darlington power transistor) 素子를 사용한 Multiple P. W. M 交流초퍼方式을 택하여, 出力電壓을 制御하므로써 電動機가 最適의 電力으로 驅動될 수 있게 하는 電力制御器(power controller)를 설계하고자 한다.

### 3.1 시스템의 動作概要

그림 1에 電力制御器의 시스템의 구성 및 그 원리를 간략하게 블록선도로 설명하였다.

즉, 처음 電動機에 電源을 投入하면 定常電流보다 数倍가 더 큰 起動電流가 흐르는데 이 큰 過渡電流로부터 電力用 트랜지스터(以下,  $T_R$ )를 보호하기 위하여 起動電流保護回路는 처음 3초동안 繼電器를 작동시켜  $T_R$  양단을 短絡시킨다.

起動이 완료되어 電動機가 定常상태에 이르면 繼電器의 接点이 떨어짐과 동시에  $T_R$ 에 의하여 電力이 制御되기 시작한다. 電力用  $T_R$ 에 의하여 制御되기 시작하면 곧 이어 電壓減少命令(initial decrement command) 신호가 발생되어 電動機供給電壓은 1

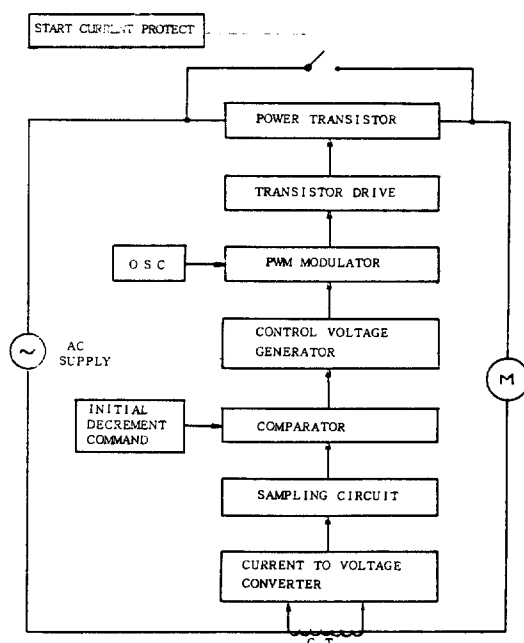


그림 1. 시스템의 블록선도

Fig. 1. System block diagram

[V]씩 감소된다. 이때의 負荷電流는 變流器(C.T)에 의하여 檢出되며, 電流-電壓變換器(current to voltage converter)에 의하여 直流電壓으로 變換된 후, 比較器(comparator)에 입력되어 電壓減少命令신호가 발생하기 이전의 電動機電流와 比較된다. 그럼 2에서와 같이 初期電流를 A라 하면 電壓減少후의 電流는 B가 되며 比較器에 의하여 比較된 후  $A > B$ 이면 電動機의 電壓은 다시 감소된다. 이때의 電流는 C가 되며 B와 C가 比較된 후  $B > C$ 이면 電壓은 또 다시 감소된다. 이와 같은 과정을 반복하여 G에까지 도달하면  $F = G$ 가 되어 電流는減少 또는增加하지 않고 安定상태에 이른다.

安定한 상태에서도 電動機電流는 一定週期로 샘플링된다. 만일 負荷變動에 의하여 電動機의 電流가 增加하게 되면 곧 샘플링되어 比較된 후 電壓增加命令信號가 發生되며, 供給電壓이 增加되므로써 電動機電流는 減少하게 된다.

결국은 전동기의 부하 상태가 變化하더라도 전류를

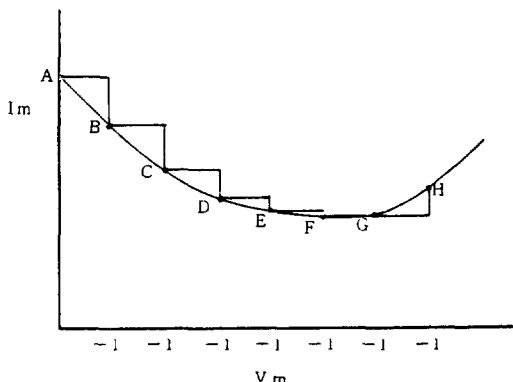


그림 2. 最少電流를 찾기 위한 制御方案

**Fig. 2.** Control scheme for optimal current

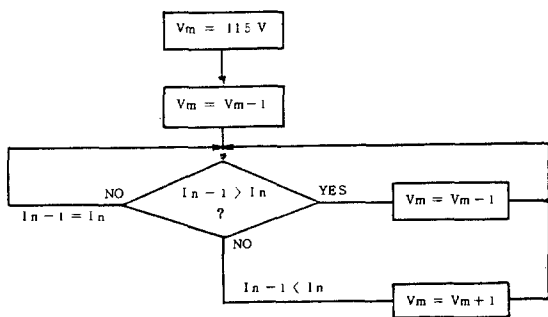


그림 3 흐름선도

**Fig. 3.** Flow chart

最少로 維持시켜 전동기가 최소의 電力에너지로 運轉될 수 있도록 한다.

制御電圧発生器(control voltage generator)는 比較器에서 発生되어 나오는 増加 혹은 減少命令에 의하여 적절한 直流制御電壓을 発生시켜 P.W.M. 變調器(modulator)에 供給하게 되며 變調器는 発振器에서 発生되는 搬送波와 直流制御電壓을 變調시키며 이 펄스폭이 變調된 信號는  $T_R$  驅動回路에 入力된다. 이  $T_R$  驅動回路는 펄스幅 變調된 信號를 電力制御  $T_R$ 에 공급하여 초평시키므로써 電動機에 供給되는 實効電壓을 制御할 수 있도록 한다. 그 과정을 흐름선도로 나타내면 그림 3과 같다.

### 3.2 각 블록의 回路構成 및 動作

### 3.2.1 單相電力を 制御하기 위한 트랜지스터 回路 (single-phase power transistor circuit)

單相回路에서 交流를 측정하기 위한 스위칭回路로

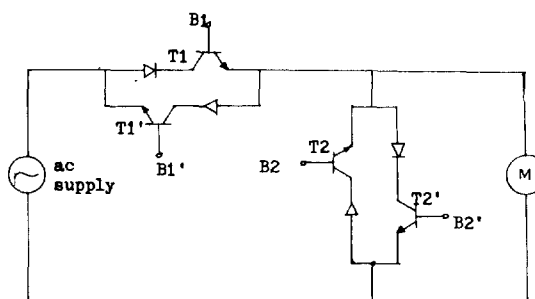


그림 4.1. 쇄평을 위한 트랜지스터 회로

**Fig. 4.1.** Single phase power transistor circuit for chopping

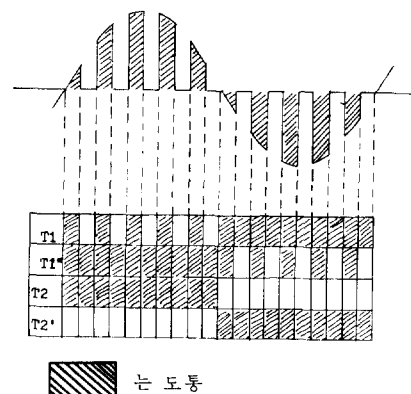


그림 4.2. 출력전압파형과 트랜지스터의 도통수선

**Fig. 4.2.** Output voltage waveform and conduction sequence transistor

서 그림 4-1과 같이 회로를 구성하였다. 트랜지스터  $T_1$ 과  $T_1'$ 는負荷와 직렬로 접속되어 있으면서 입력전압의 十半波와 一半波에서 각각 초평하고,  $T_2$ 와  $T_2'$ 는 병렬로 접속되어 誘導負荷의 경우 電流를 free-wheeling 시킨다.

이때 負荷에 供給되는 實効出力電壓은 초평  $T_R$ 의 時間比,  $\delta = T_{on} / (T_{on} + T_{off})$ 에 의하여 變化되며 出力電壓의 一般式은 다음과 같다<sup>6), 7)</sup>.

$$V(t) = \frac{T_{on}}{T_{on} + T_{off}} V \sin w_1 t + \sum_{n=1}^{\infty} \left\{ \frac{V}{n \pi} \sin n \pi \frac{T_{on}}{T_{on} + T_{off}} [\sin(w_1 + nw_2)t - \sin(w_1 + nw_2)t] \right\}$$

단,  $w_1$  : 供給電源 角周波数

$w_2$  : 초평 角周波数

우수高周波를 제거하기 위하여 초평周波数  $f_c$ 는 供給周波数  $f_s$ 의 우수倍로 되어야 하며 본 電力制御器에서는 1,200 [Hz] ( $f_c = 20$ )로 하였다.

### 3.2.2 트랜지스터 驅動回路(그림 5)

이 回路는 +, -電源 供給장치와 베이스驅動(Bias drive)回路로 구성되어 交流電源과 制御回路와의 分離를 위하여 opto-coupler를 使用하였다.

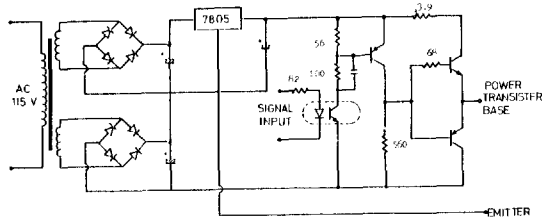


그림 5. 트랜지스터 驅動回路

Fig. 5. Transistor driving circuit

### 3.2.3 P. W. M 變調器와 發振器(그림6-1, 6-2)

函數發生器, IC 2에서 發生되는 반송파(3가파)는 IC 3에 의하여 증폭된 후 IC 4에서 直流制御電壓과 함께 變調된다.

펄스幅 變調된 信號는 IC 5를 통하여  $T_R$  驅動回路(그림 5)에 供給된다.

그림 6-2는 P. W. M 變調器의 出力波形이다.

### 3.2.4 制御電壓 發生器(그림 7)

이 回路는 計數(counter)回路와 D/A 變換回路로 구성되어 比較器로 부터 電壓減少 혹은 增加命令 信號를 받는다. 이때 比較펄스(compare pulse)가

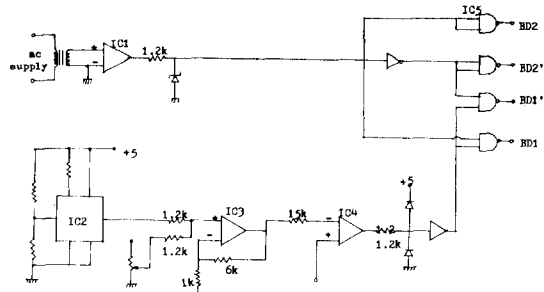


그림 6.1. P. W. M 變調器, 發振器

Fig. 6.1. P. W. M modulator and oscillator

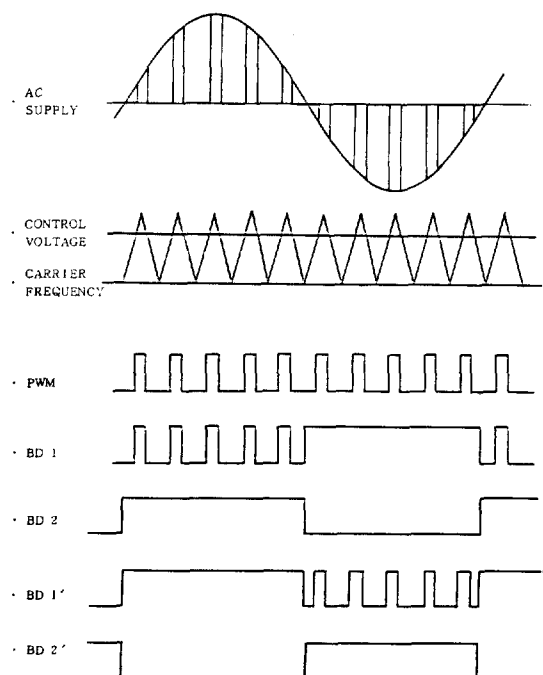


그림 6.2. P. W. M 變調器의 出力波形

Fig. 6.2. Waveforms of P. W. M modulator

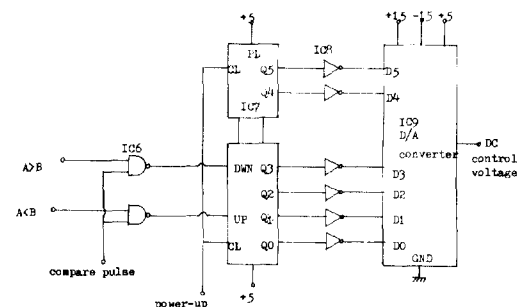


그림 7. 制御電壓 發生器

Fig. 7. Control voltage generator

입력되면 計數回路는 增加 또는 減少計數 (up or down count)를 하여 D/A 變換回路의 出力電壓을 變化시키므로써 적절한 制御電壓을 發生시킨다.

### 3.2.5 比較器(그림 8)

이 回路는 A/D 變換回路와 디지털比較器(digital comparator)로 구성된다. 샘플링回路로 부터 入力된 直流電壓은 우선 A/D 變換回路에서 디지털信號로 變換된 후 8비트 디지털比較回路에 加해 진다. IC12와 IC13에서는 지금 막 入力 데이타B와 이전에 샘플링되어 저장되어 있던 데이타A를 比較하여 A > B 이면 電壓 減少信號를 A < B 이면 增加信號를 그리고 A = B 이면 정지신호를 만들어 制御電壓 發生器(그림 7)에 供給한다.

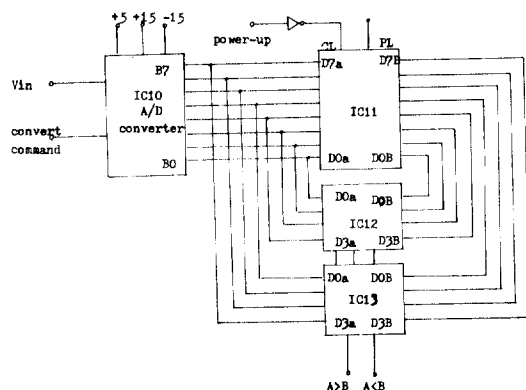


그림 8. 比較器回路

Fig. 8. The circuit of a comparator

### 3.2.6 샘플링回路(그림9.1)

이 回路는 타이밍回路와 퍼크검출回路로 구성되며 入力된 直流電壓은 스위치S를 통하고, 샘플링信號에 의하여 IC 16을 통하여 比較器(그림 8)에 供給된다.

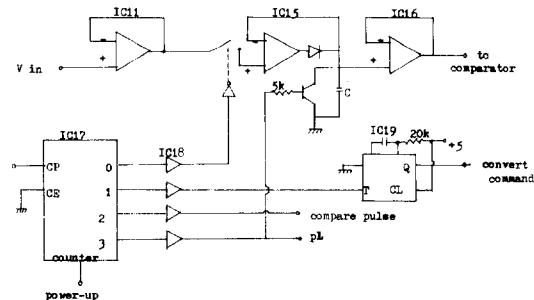


그림 9.1. 샘플링回路

Fig. 9.1. Sampling circuit

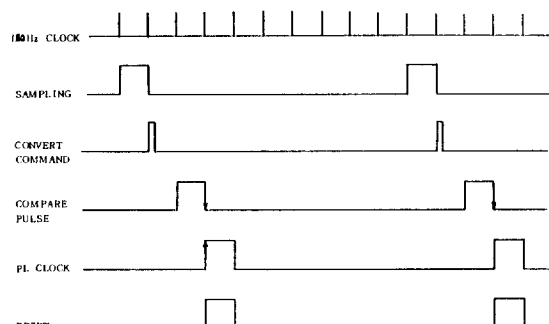


그림 9.2. 타이밍 圖

Fig. 9.2. Timing diagram

### 3.2.7 電流-電壓變換器(그림10)

이 回路는 負荷電流를 檢出하는 變流器(C.T.) 와 雜音을 제거하기 위한 60 [Hz], band pass filter, 그리고 交流-直流 變換回路로 구성된다. 變流器에 의하여 檢出된 負荷電流는 IC 20에서 여과된 후 절대치增幅器 IC 21과 IC 22에서 直流電壓으로 變換되어 샘플링回路(그림 9.1)에 供給된다.

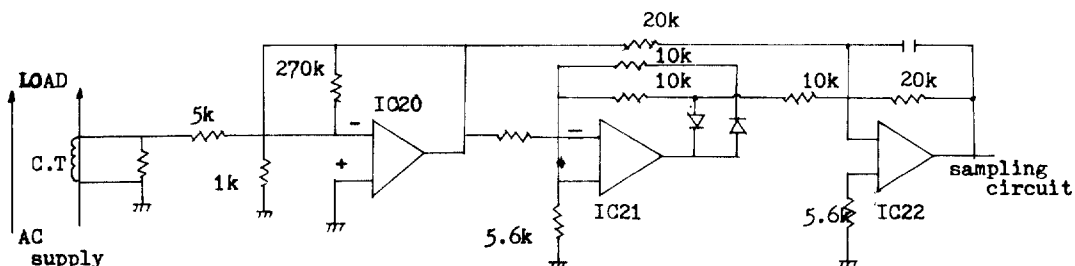


그림 10. 電流-電壓 變換器

Fig. 10. Current to voltage converter

### 3.2.8 起動電流 保護回路(그림11)

이 회로는 power-up one-shot 회로와 過電流 保護回로로 구성되어 電源이 投入되는 순간 IC 23은 3초동안 出力を 내어 繼電器를 작동시킨다. 이 계전기의 接点은 電力制御  $T_R$  的兩端을 단락하여 起動電流를 側路로 by-pass 시키므로써 出力制御  $T_R$  을 保護하게 된다.

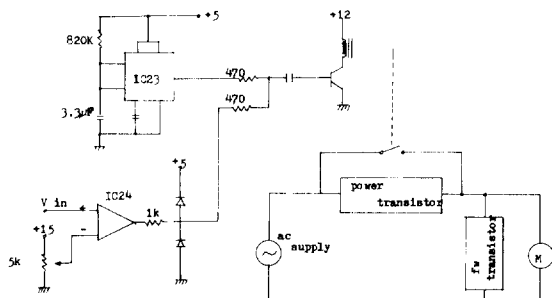


그림 11. 起動電流保護回路

Fig. 11. Starting current protector circuit

## 4. 實驗

### 4.1 實驗方法

電動機의 特性試驗에는 單相, 1/3 [H.P.], 全負荷 定格 115 [V], 5.8 [A], 1725 [rpm]의 分相起動型 誘導電動機를 使用하였으며 直流發電機를 電動機 軸에 機械的으로 接續하여 可變負荷로 利用하였다.

먼저 그림 12 와 같이 試驗裝備를 구성하고 電力制御器를 手動모드 (manual mode)로 한 다음 手動으로 入力電壓을 可變하면서 電流가 最少되는 点을 人為的으로 찾으며 定格負荷의 80%, 60%, 40%

에서의 電動機特性을 測定하였다.

다음 그림 12 의 電力制御器를 自動모드 (auto-mode)로 한 다음 負荷를 定格의 80%, 60%, 40%로 可變하면서 각각의 경우의 電動機 特性을 測定하여 電力制御器를 使用하기 전의 것과 比較하였다.

그림 13 은 實驗裝備를 摄은 사진이며 그림 14-1, 2는 각각 電力制御器에 誘導負荷와 抵抗負荷를 接續한 경우의 電流와 交流電壓의 P. W. M 波形이다.

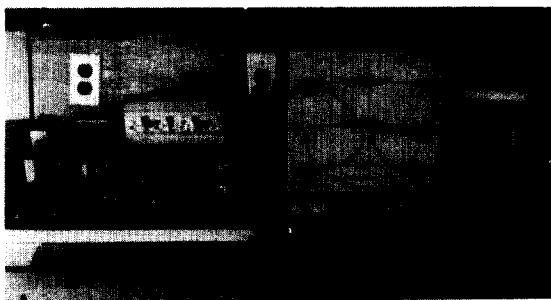


그림 13. 實驗裝置

Fig. 13. The photograph of experimental devices

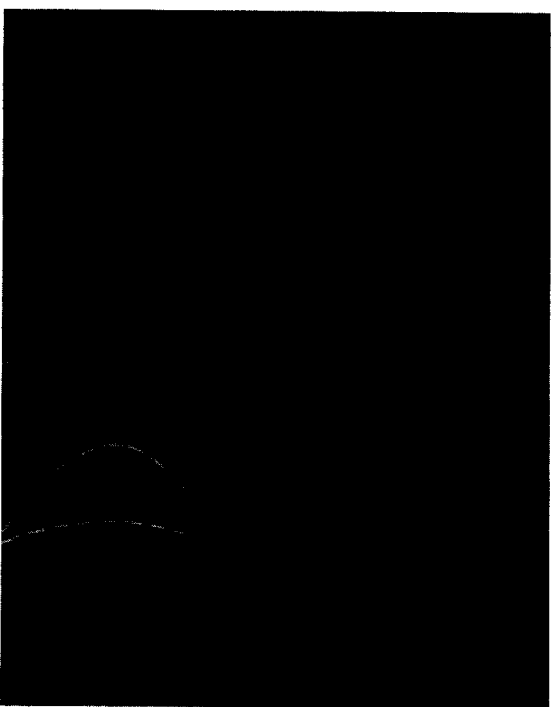


그림 14. 電流 - 電壓波形 (1)誘導負荷 (2)抵抗負荷

Fig. 14. Waveforms of current & voltage  
(1) inductive load (2) resistive load

그림 12. 實驗을 위한 回路

Fig. 12. Experimental circuit

## 4.2 實驗結果 및 考察

實驗에 의해 얻은 結果를 표 1과 그림 15, 16, 17로 나타내어 다음과 같이 검토해보기로 한다.

즉

(1) 電動機의 一般的인 特性(그림 15)

그림 15는 電力制御를 手動모드로 하여 負荷를 變化시켜가며, 또한 같은 負荷상태에서도 電壓을 점차

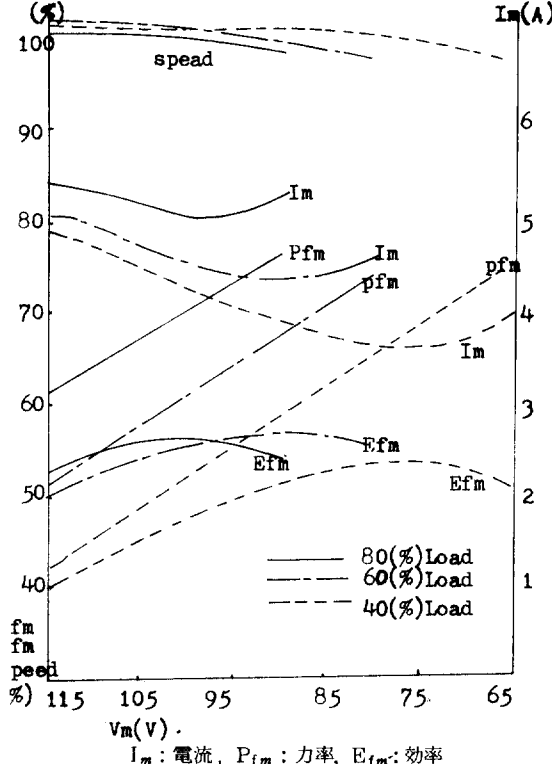


그림 15. 電動機의 特性 (力率, 効率, 速度, 電流 - 電壓)

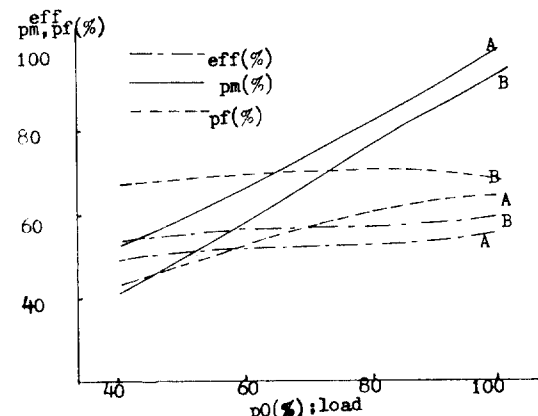
Fig. 15. Characteristics of a motor (power factor, efficiency, speed, current. Vs. voltage)

감소시켜가면서 効率, 力率, 電動機의 負荷電流, 速度等의 電動機의 一般的인 特性을 구하여 그라프로 나타낸 것으로 이를 檢討하여 보면

(i) 電壓은 一定하고 負荷만 變化시키는 경우 : 負荷가 감소함에 따라 効率은 감소, 速度는 증가, 電動機의 負荷電流는 감소하며 力率은 나빠지는 것을 볼 수 있다<sup>1), 2), 5)</sup>.

(ii) 負荷는 一定하고 電壓만 變化하는 경우 : 같은 負荷에서도 電壓을 감소시킴에 따라 効率은 어느 電壓까지는 증가하다가 감소하게 되며 負荷電流는 감소하다가 증가하게 되므로 이로부터 負荷電流가 最少가 될 때 効率이 最大로 됨을 볼 수 있다.

따라서 본 논문의 2.2.1에서 제시한 바와 같이 電動機를 주어진 負荷에서 最大 効率로 運轉하려면 負荷電流가 最少인 点에서 運轉하면 되므로 電流를 制



$E_f$  : 効率(%),  $P_m$  : 入力電力(%)  $P_f$  : 力率(%)

그림 16. 부하에 따른 효율, 입력전력, 역률

Fig. 16. Efficiency, input power, power factor. VS. load

表 1. 實驗結果  
Table 1. Experimental results

負荷 (%)	条件	$P_m$ (W)	$V_m$ (V)	$I_m$ (A)	$P_f$	$E_{ff}$ (%)	rpm (%)
100	A	450	115	6.0	0.65	0.56	100.0
	B	420	105	5.8	0.69	0.60	99.0
80	A	380	115	5.4	0.61	0.53	101.0
	B	350	100	5.0	0.70	0.57	99.7
60	A	300	115	5.0	0.52	0.50	101.8
	B	265	90	4.3	0.68	0.57	99.7
40	A	240	115	4.8	0.43	0.42	102.4
	B	185	75	3.5	0.67	0.54	99.7

A ; CONTROLLER 사용전, B ; CONTROLLER 사용시

御信號로 하는 電力制御器를 개발 할 수 있는 타당성이 입증됨을 알 수 있다.<sup>1), 2), 5)</sup>

또한 速度는 電壓을 감소시킴에 따라 약간 감소하게 되며 力率은 향상됨을 볼 수 있다. 이는 Mohan 氏가 實驗한 結果와도 잘 일치한다<sup>2)</sup>.

(2)開発된 電力制御器의 性能試驗結果인 표1은 負荷를 變化시켜 가며, 각각의 負荷에서 本研究에서 研究開発한 制御器(power controller)를 使用할 때(B)와 그렇지 아니 할 때(A)의 電動機特性을 구하여作成된 것으로 이를 그래프로 그린 것이 그림 16이다.

그림 16에서 制御器를 使用할 때, 電動機에서 所要되는 入力電力이 감소하여 効率이 증대되며 力率도 개선됨을 볼 수 있다. 또한, 力率, 効率, 入力電力 모두가 負荷가 증가하게 되면 아울러 증가됨을 알 수 있다.

그림 17은 制御器를 使用할 때와 使用하지 않을 경우의 各各의 電流·電壓特性을 그린 것으로 使用하지 않을 경우(A), 負荷가 증가되더라도 電源電壓은 一定하며 電流는 증가됨을 볼 수 있다.

또한 制御器를 사용할 경우(B)는 負荷가 증가하면 電動機의 電壓·電流特性 모두가 증가하게 되며 使用하지 않을 경우보다도 그 特性값이 작게되어 効率·力率特性의 改善은 물론 절연에 까지도 좋은 영향을 미칠 수 있음을 알 수 있다. 따라서 표 1, 그림 16, 17로 부터 電動機의 運轉時に 本 電力制御器를 使用할 경우 負荷條件에 따라 入力電壓과 電力を 自

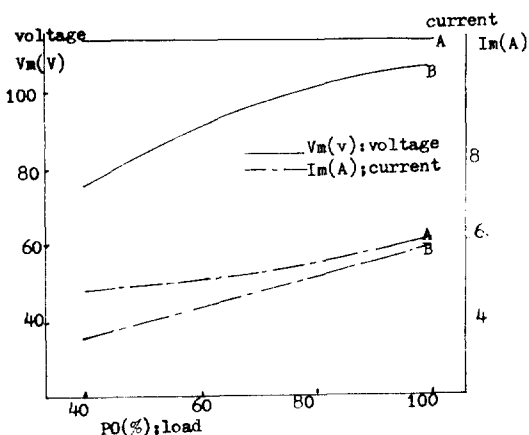


그림 17. 부하에 따른 전압, 전류 변화 (A; 제어기 사용前, B; 제어기 사용시)

Fig. 17. The behavior of current & voltage. Vs. load

動으로 제어하여 最適의 力率 및 効率로 運轉됨을 확인 할 수 있었으며 또한 本 制御器의 性能이 매우 양호함을 알 수 있다.

## 5. 結論

1. 電力用 다알링톤 트랜지스터(darlington power transistor)를 스위칭 素子로 使用한 P. W. M 交流 촤퍼方式의 電力制御器(power controller)를 研究開発하여 實驗하여 본 結果, 單相誘導電動機가 定格이하의 負荷에서 運轉될 때 負荷條件에 따라 最適의 入力電力으로 自動으로 制御되어 効率 및 力率이 향상됨을 볼 수 있었다.

2. 最適効率로 運轉될 때에 電動機의 速度가 負荷에 따라 變하여 (표 1), 100% 負荷時には 定格速度의 99.0%, 80%, 60%, 40% 負荷時には 定格速度의 99.7%로 감속되므로, 本 電力制御器는 定速度 運轉이 요구되는 負荷가 아니고 定格速度의 1% 이하 정도의 速度오차를 허용할 수 있는 負荷에서라면 本 制御器는 電氣에너지의 절약하는 면에서 많은 도움이 될 것으로 믿어진다.

3. 本 電力制御器의 制御回路의 대부분을 차지하는 TTL IC 素子를 CMOS 素子로 대체하고, 回路를 좀 더 効率的으로 設計한다면 制御器 자체의 効率도 매우 좋아지리라 생각된다.

4. 電力用 트랜지스터를 使用하면 응답속도나 高調波特性 等이 다른 方式에 비해 비교적 우수한 장점을 갖지만 현재에는 가격이 비싸고 취급전력에도 제한이 있어 보다 큰 定格의 電動機를 制御하기는 어려운 설정이나 현 추세로 볼 때 가까운 장래에 해결될 수 있으리라 사료된다.

본 연구는 지금까지 알려진 實驗적 결과를 토대로 하여 効率改善의 方案을 찾았으나 앞으로 供給電壓, 電流, 効率, 速度등의 電動機特性의 상호 관계를 구명 할 수 있는 數式的인 모델을 세워 理論的인 解析을 아울러 함과 동시에 이로부터도 타당한 方案을 찾아 効率改善의 理論的인 근거를 제시하고자 한다.

또한 本 制御器의 3相誘導電動機의 적용이나, 位相制御方式보다 훨씬 우수 할 것으로 예상되는 高調波特性의 확인이 가능 할 것으로 생각되나 이는 다음 기회에 연구하고자 한다.

## 参考文献

- 1) N. Mohan, "Improvement in energy efficiency

- of induction motors by means of voltage control", IEEE Transactions on Power Apparatus and Systems, Vol. PAS 99, No. 4 July/Aug 1980.
- 2) "Energy efficiency of electric Motor", A Report prepared for U.S. department of energy, Report No. HCP/M50217-01, Reprinted April 1978.
- 3) 박민호, 설승기, "VV - VF 제어에 의한 3상 유도전동기의 고효율화 운전에 관한 연구", 대한 전기학회지, Vol. 30, No. 7, pp. 454 - 459 July 1981,
- 4) 임달호, 이승원 "전기기기" 보성문화사, 22~77 (1980)
- 5) 박민호, "유도기기" 동명사, 463, 1981
- 6) Bruno Cotta, Maurizio Mazzucchelli, Giuseppe Sciutto "AC chopper regulation using power transistor", Proceedings of Powercon 8, G1-4 pp. 1-8 1981
- 7) Alexander Mozdzer, Bimal K. Bose, "Three phase ac power control using power transistor", IEEE Transactions on Industry Applications, Vol. IA-12, No. 5, September/October, 1976.